

AKVATISKE UTNYTTELSER

Digitalt arbeidsmøte om utnyttelse av utslipper fra oppdrett

12.05.2020 Kl. 09.30 – 9.45

Andreas Hagemann, Seniorforsker SINTEF Ocean

Næringsverdi Slam

- Varierende kvalitet og kvantitet avhengig av:
 - Tid på året (biomasse i anlegget, førtypen og utføringsmengde)
 - Art (laks, ørret, røye) og størrelse (settefisk, post-smolt)
 - Slamhåndteringsteknologi (TS fra 10 – >90 %)

Slam fra ulike anlegg	
Aske (% av TS)	15 – 22
Protein (% av TS)	13 – 25
N (% av TS)	3 – 12
C (% av TS)	29 – 41
Lipid (% av TS)	8 – 20
Fettsyrer (% av TS)	2 – 5
Fosfor (% av TS)	2 – 3

* Verdier hentet fra Blytt et al, 2011; Rosten et al, 2013; Forbord et al, 2016; Hilmarsen et al, 2018; Wang et al, 2019a, Wang et al, 2019b)

Blytt, Line Diana, Trond Knapp Haraldsen, Herman Helness, Bjarne Paulsrød, and Yngve Ulgenes. "Håndtering av slam fra rensing av avløp i settefiskanlegg." *Sintef Byggforsk Rapport SBF2011F0081* (2011).

Forbord, Silje, Standal, Inger Beate, Reitan, Kjell Inge "Avfall fra sjøbasert lakseoppdrett som en ressurs" *SINTEF Fiskeri og havbruk rapport* (2016);

Hilmarsen, Øyvind, Even Ambros Holte, Hanne Brendeløkken, Randulf Høyli, and Erik Skontorp Hognes. "OC2018 A-033-Konsekvensanalyse av landbasert oppdrett av laks–matfisk og post-smolt." (2018).

2

Rosten, T.W., Azrague, K., Toldnes, B., (2013). Primærrensing og aktuelle løsninger for slambehandling i norske settefiskanlegg. SINTEF A24445. pp 1-123

Wang, Haiqing, Inka Seekamp, Arne Malzahn, Andreas Hagemann, Ana Karina Carvajal, Rasa Slizyte, Inger Beate Standal, Aleksander Handå, and Kjell Inge Reitan. "Growth and nutritional composition of the polychaete Hediste diversicolor (OF Müller, 1776) cultivated on waste from land-based salmon smolt aquaculture." *Aquaculture* 502 (2019): 232-241.

Wang, Haiqing, Andreas Hagemann, Kjell Inge Reitan, Jørgen Ejlersson, Håvard Wollan, Aleksander Handå, and Arne M. Malzahn. "Potential of the polychaete Hediste diversicolor fed on aquaculture and biogas side streams as an aquaculture food source." *Aquaculture Environment Interactions* 11 (2019): 551-562.

Slamutnyttelse - Dagens løsninger

- Gjødsel i landbruket
 - Kan redusere behov for fosfor i mineralgjødsel
 - Grenseverdier for tungmetaller setter begrensningene for bruk
 - Tap av næringsstoffer (lipider, protein)
- Biogass
 - Næringsstoffer kan gjenvinnes fra biorest
- Forbrenning
 - Slam har god brennverdi, men er energikrevende å tørke
 - Tap av viktige næringsstoffer
- **Bioproduksjon**
 - *Viktige næringsstoffer gjenvinnes*
 - *Rest etter bioproduksjon kan fortsatt inngå i andre løsninger*



Figur fra: Aspaas, S., Hagemann, A. og Rosten, T.W. 2016 - Identifisering av aktuelle løsninger for håndtering og anvendelse av avløpsslam fra settefiskanlegg i Nordland

Sirkulær bioøkonomi

"In a world with growing pressures on resources and the environment, the EU has no choice but to go for the transition to a resource-efficient and ultimately regenerative circular economy" (EREP, 2014)

- **Bioproduksjon**

- Resirkulering og gjenbruk av organiske og uorganiske forbindelser i industrielle sidestrømmer
- Baseres ofte på naturlige prosesser tilpasset industrielle forhold

- **Suksesskriterier**

- Biologi
- Produksjonsteknologi
- Høsting
- Prosessering
- Produkt & Marked
- Regelverk

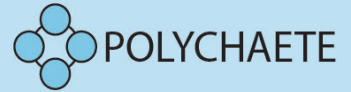


European Commission

EUROPEAN RESOURCE EFFICIENCY PLATFORM (EREP)

Manifesto & Policy Recommendations

Environment



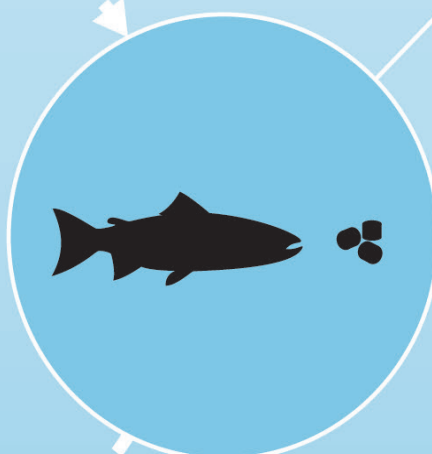
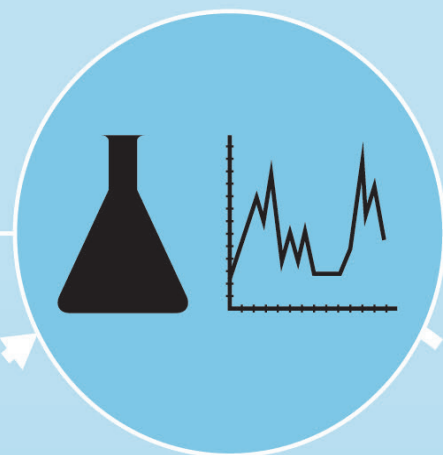
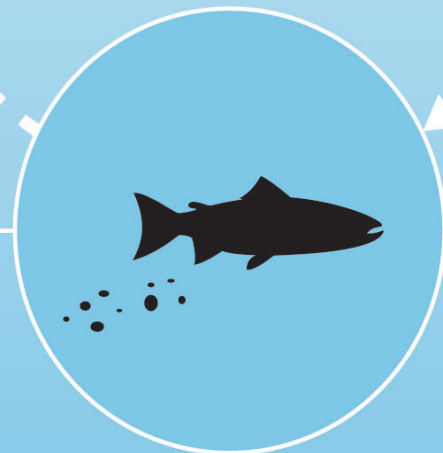
Processing and Characterization

Secondary Bio-Production

Aquaculture Waste Resources

New Feed Ingredients

Increased Food Production



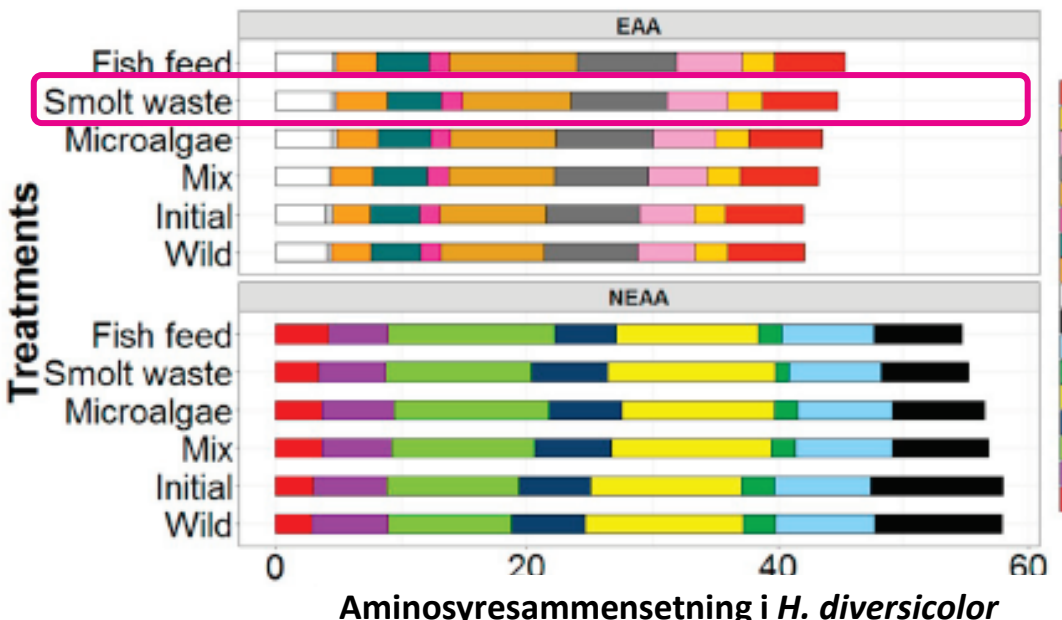
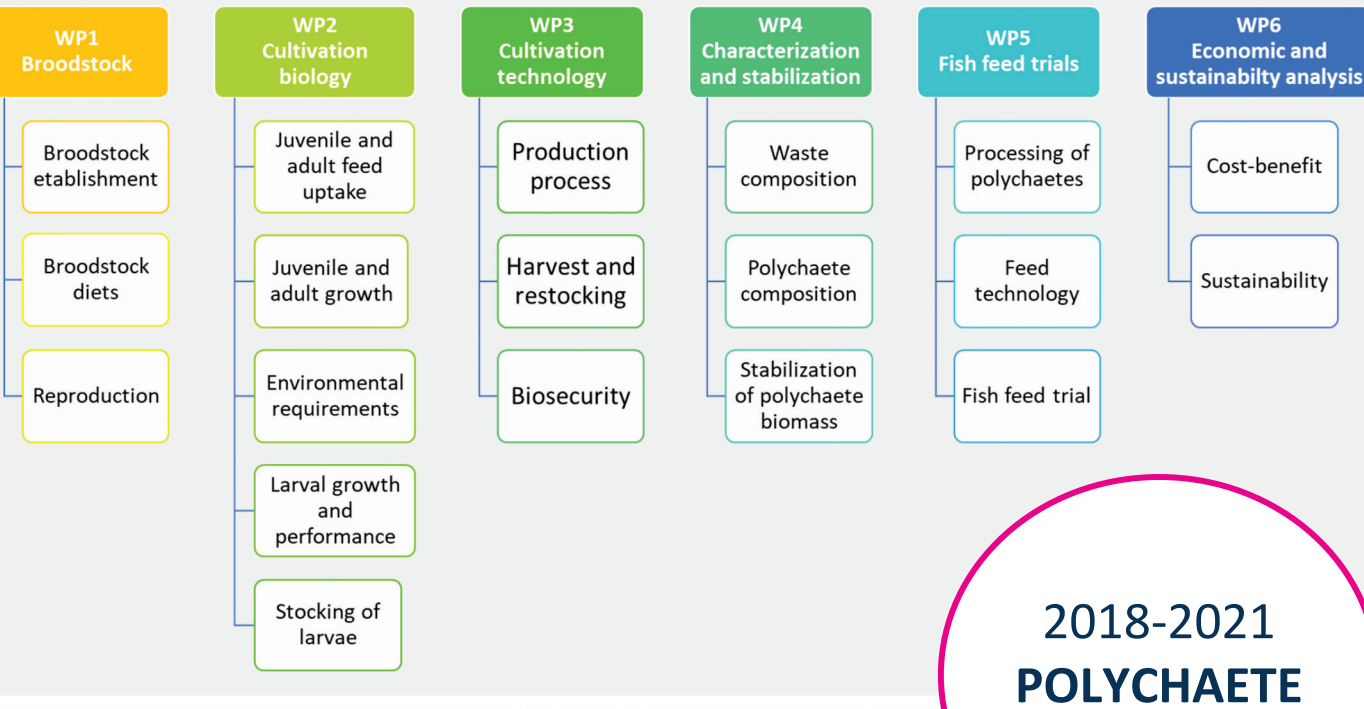
POLYCHAETE envisages intensive cultivation of Polychaeta for biological recycling of aquaculture wastes, increased resource-efficiency and production of raw material for feed outside the human food supply chain.

POLYCHAETE

Table 4

Fatty acid content (mg FA g DW⁻¹, means \pm SD) and fatty acid composition (% of total FA) of *H. diversicolor* under diff microalgae, mixed diet (n = 5 replicates); and Wild (n = 2 replicates), Initial (n = 3 replicates). Superscripts from a descending concentration ($p < 0.05$). SFA = saturated fatty acids, MUFA = monounsaturated FA and PUFA = polyunsat within rows in table indicate significant ($p < 0.05$) differences in descending order.

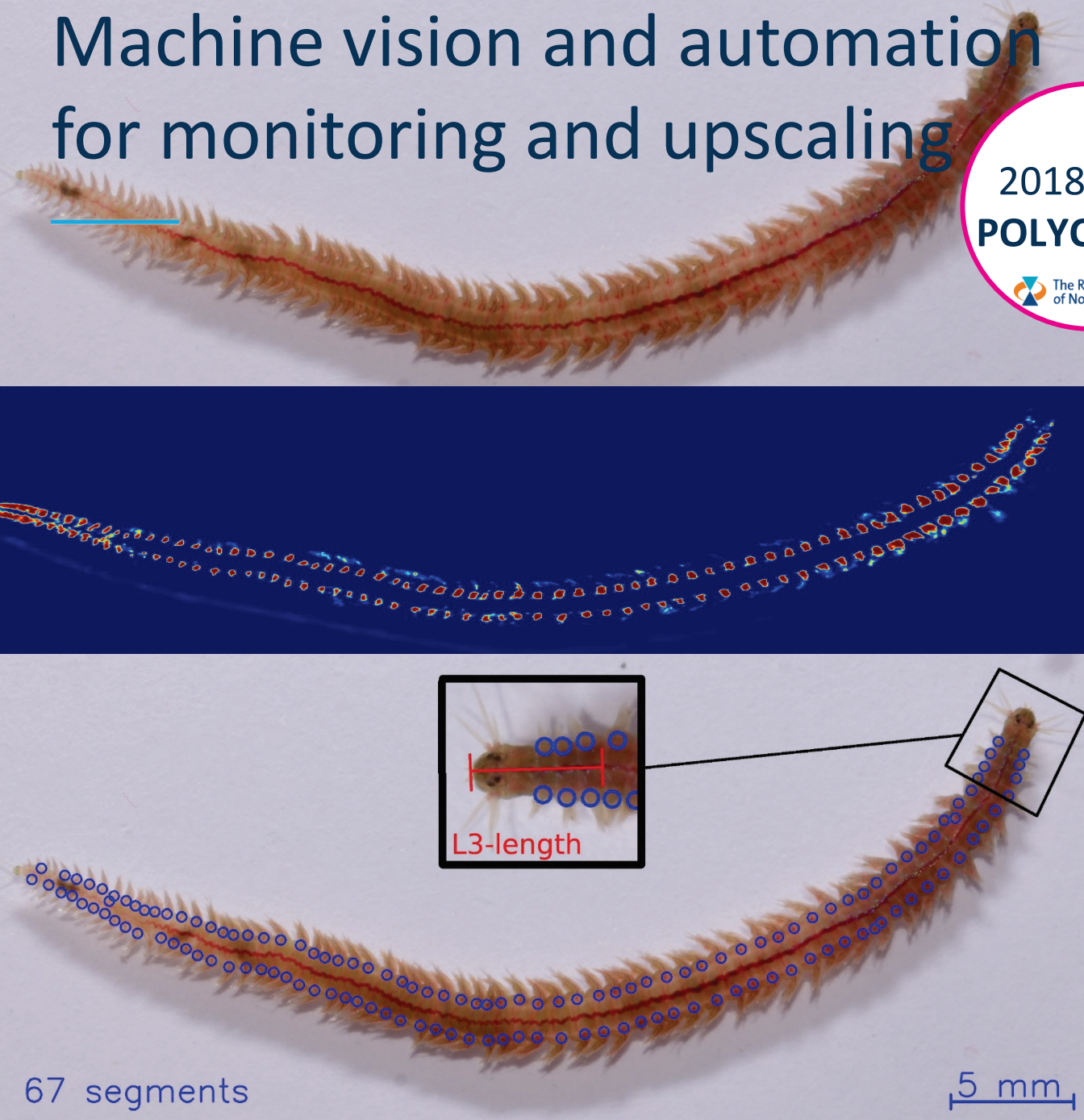
	Feeding treatments		Initial
	Fish feed	Smolt waste	
Total lipid (mg g DW ⁻¹)	157.4 \pm 10.4 ^a	123.6 \pm 12.8 ^{bc}	113.7 \pm 0.8 ^c
Total FA (mg g DW ⁻¹)	73.7 \pm 6.2 ^a	56.9 \pm 7.8 ^b	41.16 \pm 0.4 ^c
% of total FA			
C14:0	2.41 \pm 0.48 ^b	1.67 \pm 0.56 ^{bc}	1.21 \pm 0.04 ^c
C15:0	0.49 \pm 0.07 ^c	0.60 \pm 0.08 ^{bc}	0.62 \pm 0.03 ^{bc}
C16:0	20.06 \pm 0.99 ^{bc}	20.8 \pm 1.01 ^b	18.57 \pm 0.34 ^c
C17:0	0.70 \pm 0.14 ^b	0.88 \pm 0.14 ^{ab}	1.03 \pm 0.02 ^a
C18:0	4.12 \pm 0.61 ^c	5.00 \pm 0.72 ^{ab}	5.72 \pm 0.09 ^{ab}
SFA	27.78 \pm 1.29 ^{bc}	29.47 \pm 1.00 ^b	26.97 \pm 0.34 ^c
C16:1 n-7	5.29 \pm 0.73 ^{ab}	4.06 \pm 1.02 ^b	4.40 \pm 0.29 ^{ab}
C18:1 n-9	11.51 \pm 0.34 ^a	10.46 \pm 0.81 ^{ab}	8.83 \pm 0.44 ^c
C18:1 n-7	5.34 \pm 0.42 ^{ab}	5.64 \pm 0.17 ^a	5.43 \pm 0.14 ^{ab}
C20:1 n-9	2.63 \pm 0.58 ^b	4.11 \pm 0.94 ^a	3.45 \pm 0.18 ^{ab}
C22:1 n-9	0.26 \pm 0.10	0.78 \pm 1.02	0.47 \pm 0.81
C24:1	0.30 \pm 0.12	0.38 \pm 0.10	—
MUFA	25.33 \pm 0.76 ^a	25.43 \pm 0.73 ^a	22.56 \pm 0.14 ^b
C18:2 n-6	6.92 \pm 0.25 ^a	6.47 \pm 0.29 ^{ab}	5.79 \pm 0.68 ^{bc}
C18:3 n-3	1.96 \pm 0.09 ^c	2.06 \pm 0.22 ^c	3.35 \pm 0.11 ^a
C18:4 n-3	0.75 \pm 0.18 ^b	0.39 \pm 0.30 ^b	0.53 \pm 0.04 ^b
C20:2 n-6	4.86 \pm 0.44	4.86 \pm 0.44	4.73 \pm 0.24
C20:4 n-6	2.19 \pm 0.53 ^c	3.26 \pm 0.63 ^{abc}	3.74 \pm 0.21 ^{ab}
C20:3 n-3	0.50 \pm 0.06 ^c	0.57 \pm 0.10 ^{bc}	0.81 \pm 0.03 ^a
C20:5n-3 (EPA)	19.04 \pm 0.87 ^d	19.13 \pm 0.58 ^d	26.09 \pm 0.41 ^a
C22:5 n-3	2.89 \pm 0.10 ^c	2.94 \pm 0.22 ^{bc}	3.77 \pm 0.13 ^a
C22:6n-3 (DHA)	7.80 \pm 1.09 ^a	5.43 \pm 1.21 ^b	1.47 \pm 0.06 ^f
PUFA	46.89 \pm 1.64 ^b	45.11 \pm 1.18 ^b	50.47 \pm 0.47 ^a
Σ n-3	32.93 \pm 2.07 ^{ab}	30.52 \pm 1.85 ^b	36.12 \pm 0.09 ^a
Σ n-6	13.96 \pm 0.57 ^a	14.59 \pm 0.79 ^b	14.35 \pm 0.56 ^a
n-3/n-6	2.37 \pm 0.23 ^b	2.10 \pm 0.25 ^b	2.52 \pm 0.11 ^b
DHA/EPA	0.41 \pm 0.04 ^a	0.28 \pm 0.05 ^b	0.06 \pm 0.0 ^c



2018-2021
POLYCHAETE
10 MNOK

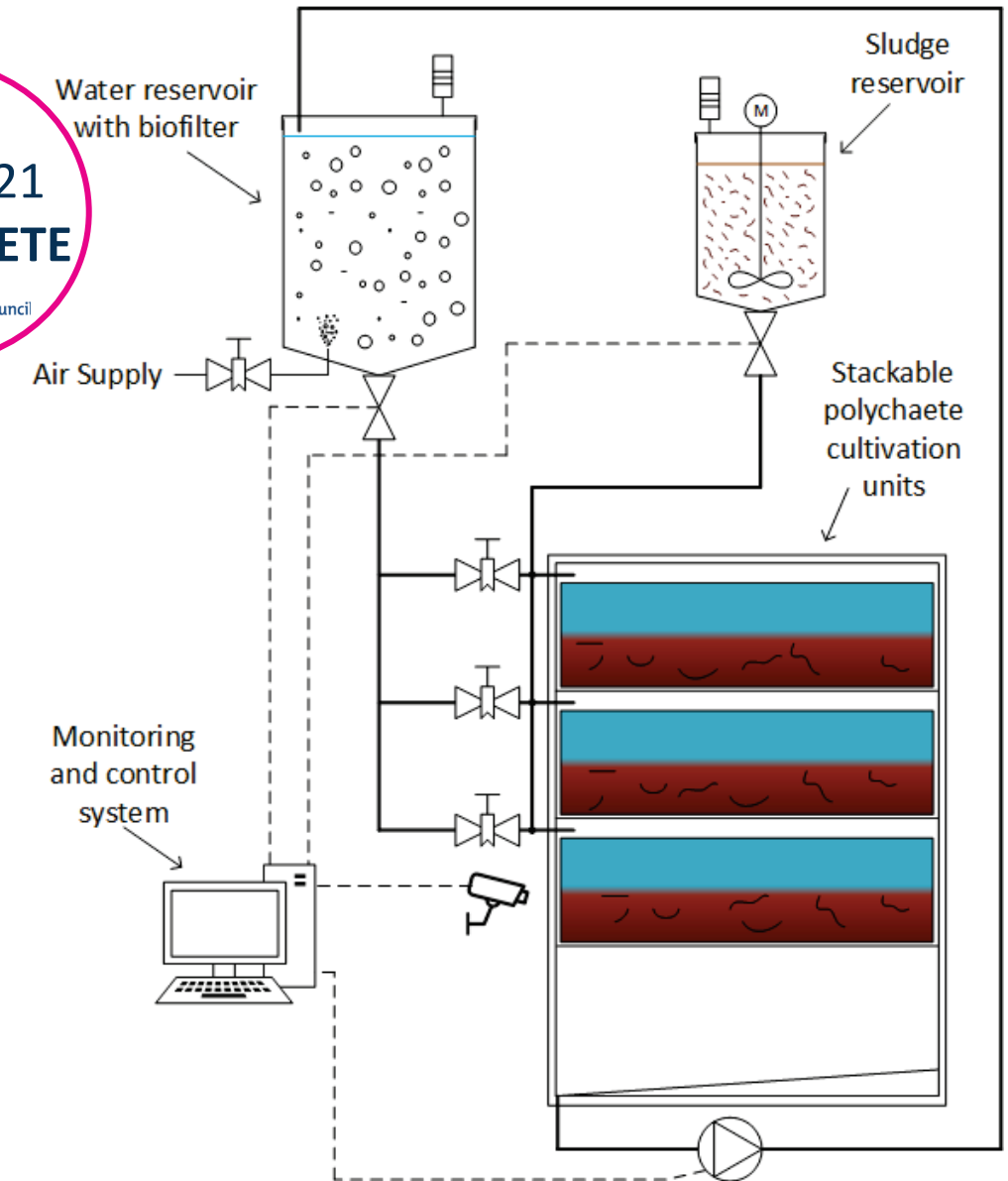


Machine vision and automation for monitoring and upscaling



2018-2021
POLYCHAETE

The Research Council
of Norway



Protein- og fettsyreinnhold i forskjellige førråstoff

2018-2021
POLYCHAETE

10 MNOK



	Fishmeal LT 70	Wheat gluten	Soy protein concentrate	Soybean meal	Insect meal	<i>H. diversicolor</i>
Protein	69-72	79-82	60-63	45-47	52,6	53-56

Fatty acids	Anchovy	Mackerel	Cod liver	Squid	Krill	Plant oil	Insects	<i>H. diversicolor</i>
20:5 n-3	12	13	9	11	22	-	0,2	14-19
22:5 n-3	2	2	2	1	1	-	0,2	3-6
22:6 n-3	12	8	9	12	13	-	<0,1	1-5
MUFA	30	37	49	35	22	7-77		26-33
PUFA	34	37	28	37	46	0-75		43-46
n-3FA	30	26	24	31	43	0-56	1-2	28-29
n-6FA	2	5	3	3	3	0-73	11	12-15

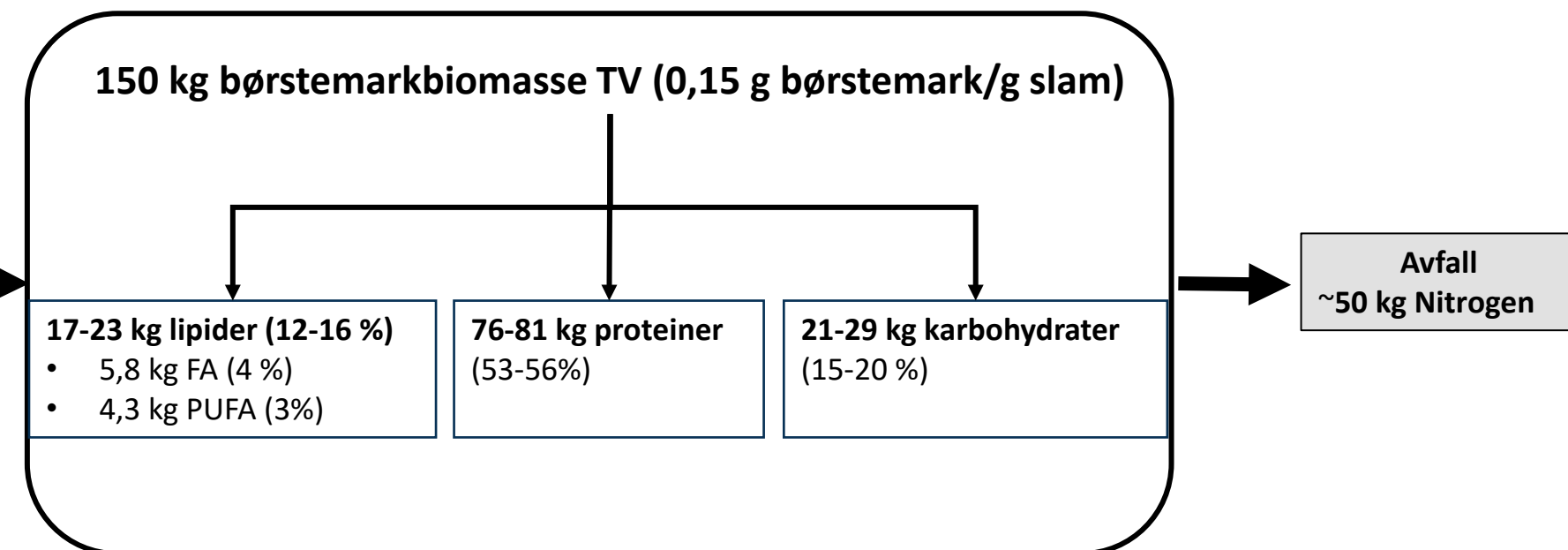
% of total lipid, Tacon et al. (2009), insects from other source and polychaetes in POLYCHAETE

Produksjonsestimat for børstemark dyrket på slam



Eksempel -
1000 kg (TS) slam fra settefiskanlegg inneholder

- 61 kg Nitrogen (6,1%)
- 11 kg Fosfor (1,1%)
- 388 kg Organisk karbon (38,8%)



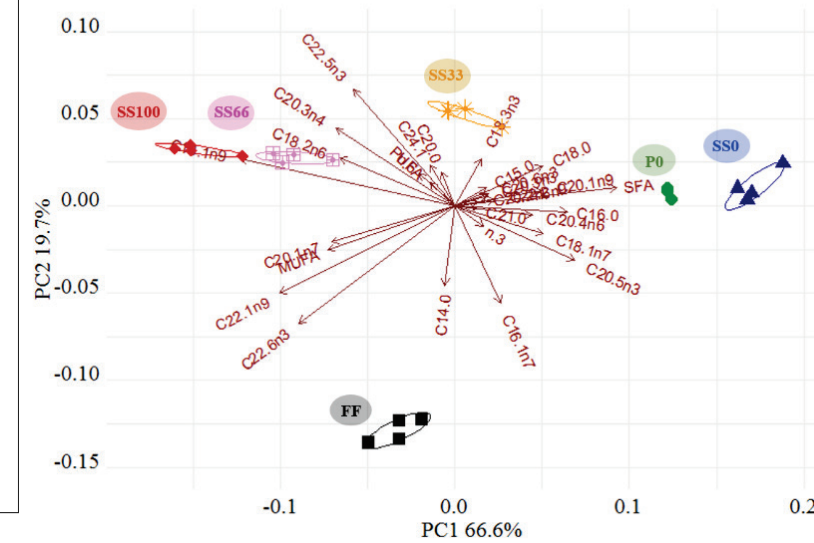
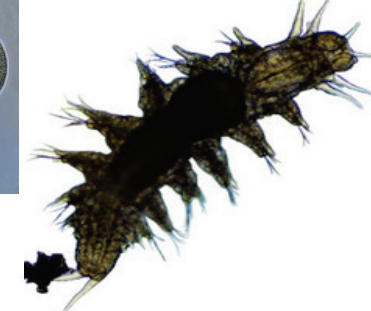
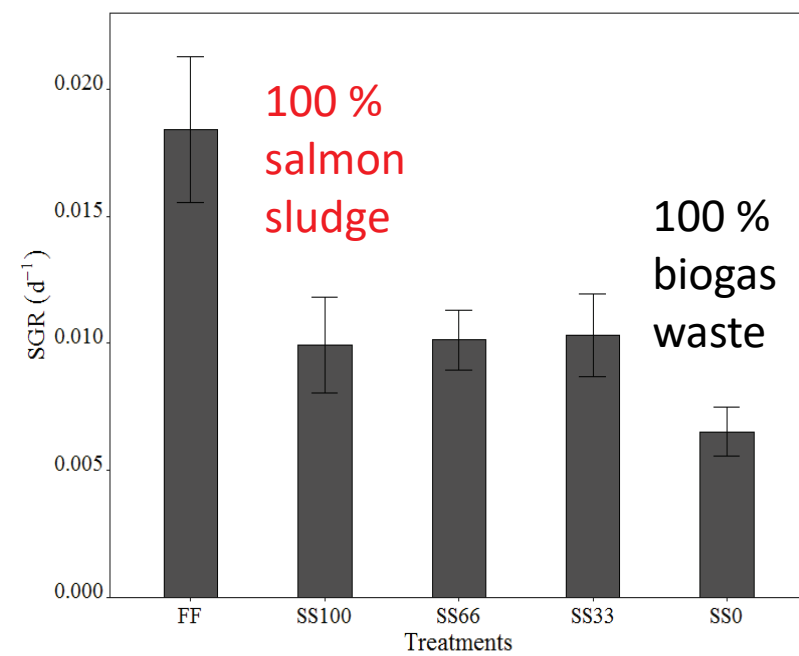
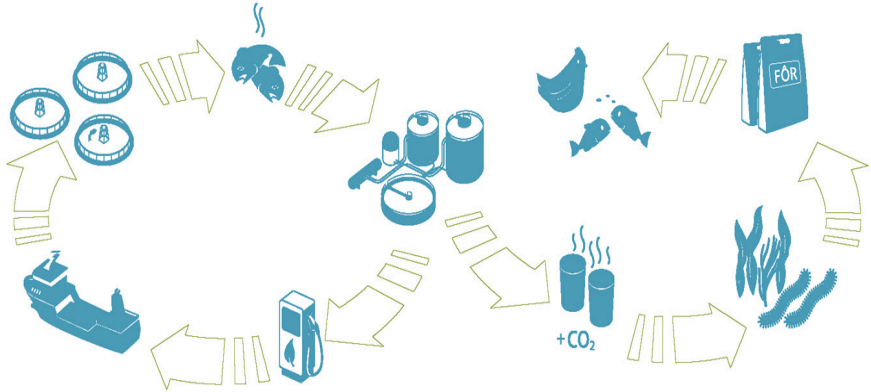
COMPLETE

*Energy efficient biogas production by recirculation of nutrients
and complete utilization of resources*

2016-2018
COMPLETE
25 MNOK



BIOKRAFT

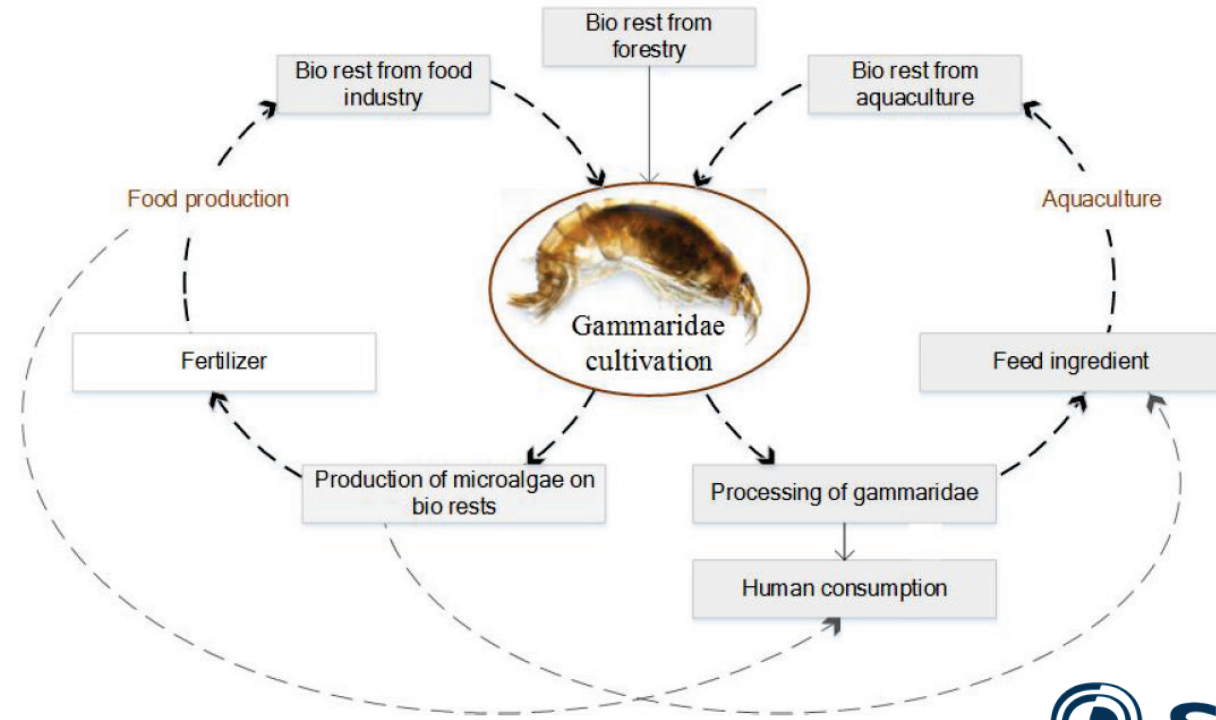
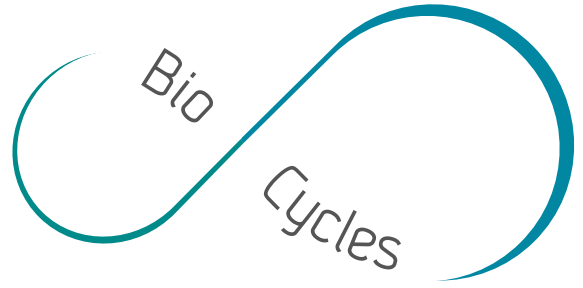


Wang, Haiqing, Andreas Hagemann, Kjell Inge Reitan, Jørgen Ejlersson, Håvard Wollan, Aleksander Handå, and Arne M. Malzahn. "Potential of the polychaete *Hediste diversicolor* fed on aquaculture and biogas side streams as an aquaculture food source." *Aquaculture Environment Interactions* 11 (2019): 551-562.



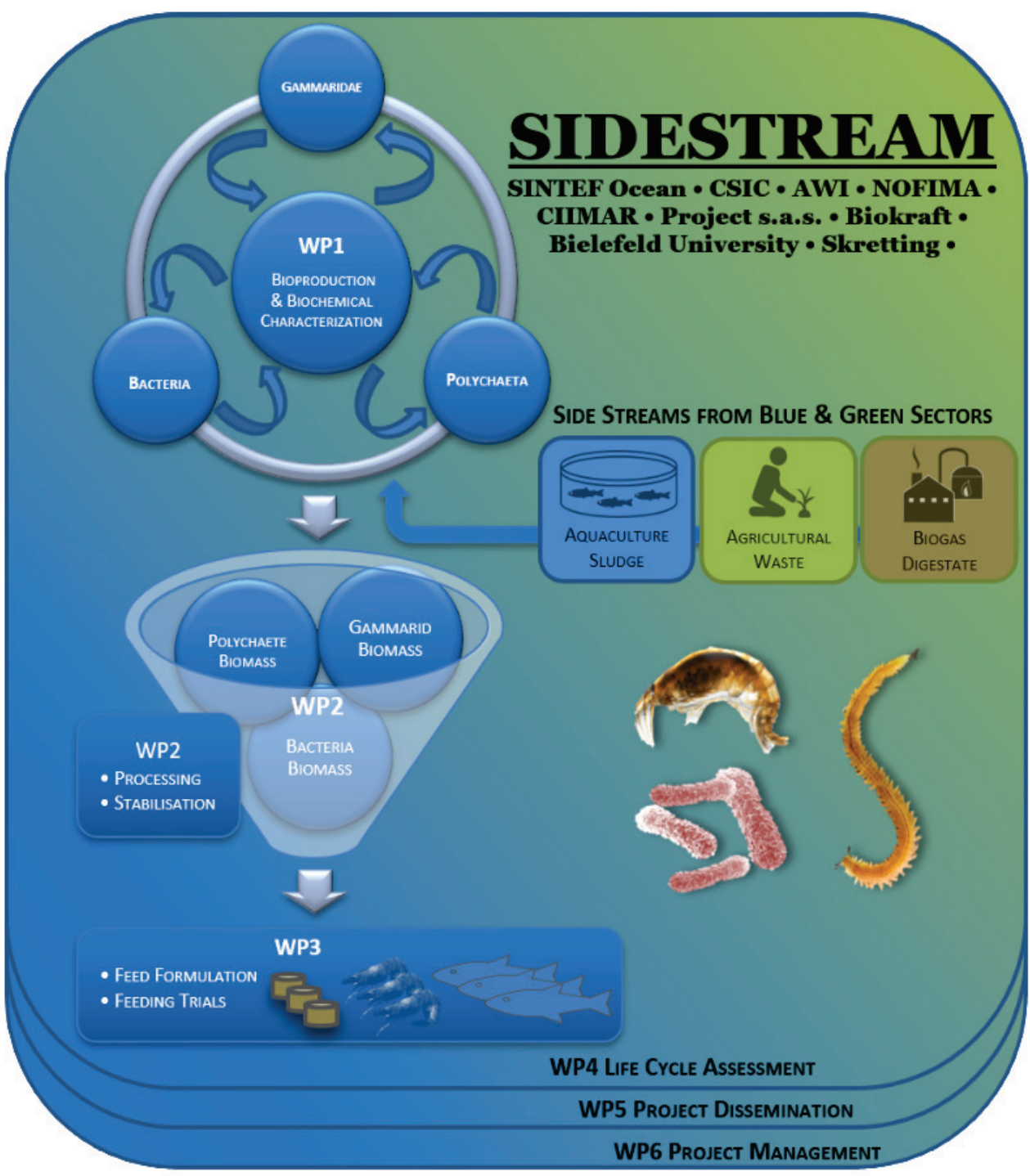
BIOCYCLES

NFR 2019 - 2022



NIBIO
NORSK INSTITUTT FOR
BIOØKONOMI





BLUEBIO COFUND FUNDS NINETEEN PROJECTS FOR
25 MILLION EUROS IN ITS FIRST JOINT CALL

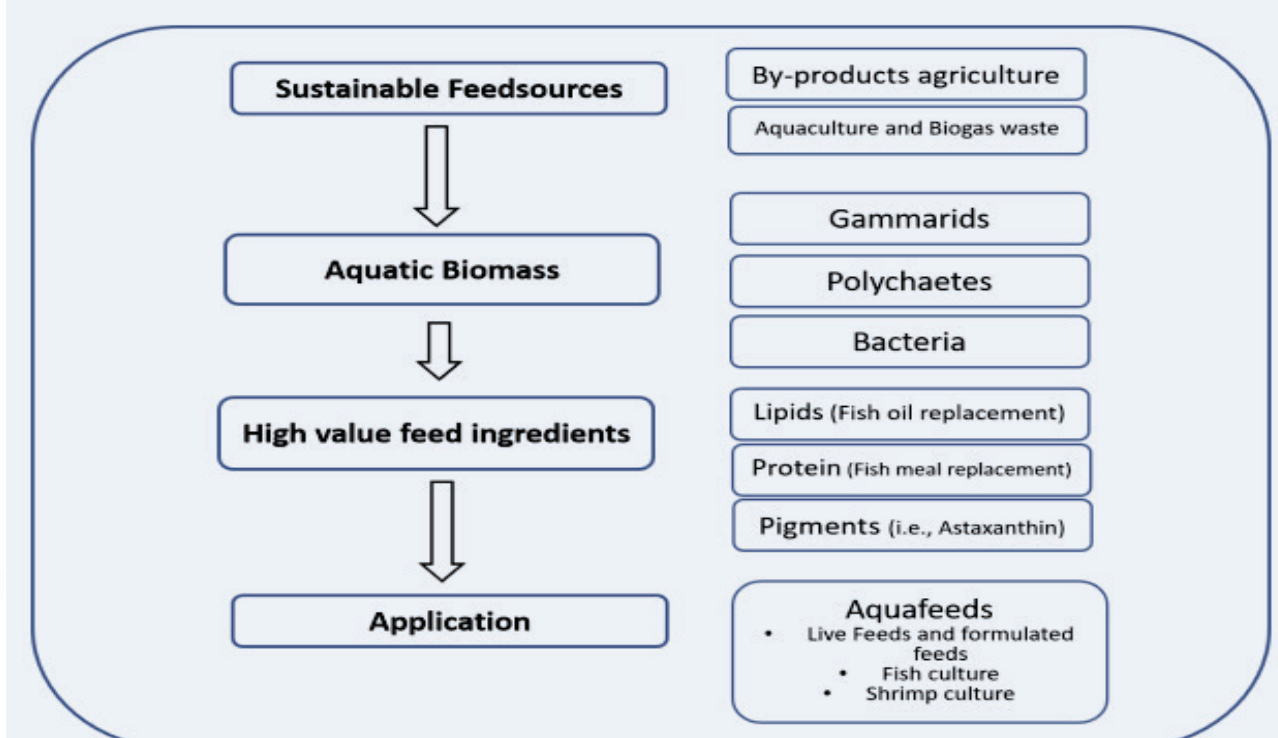
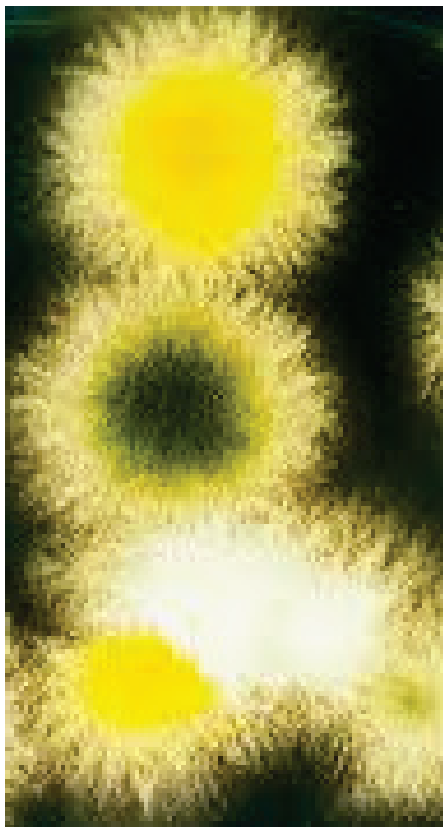
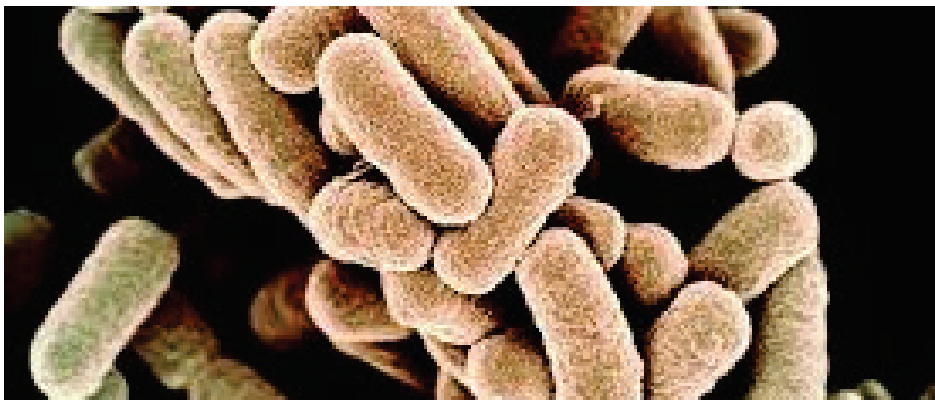
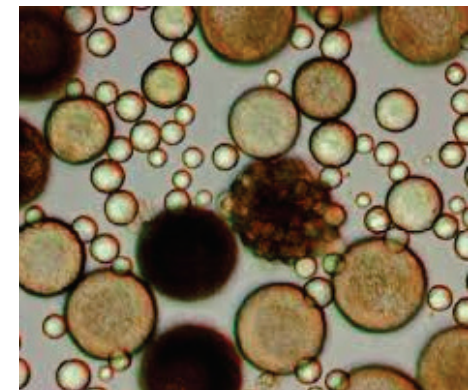
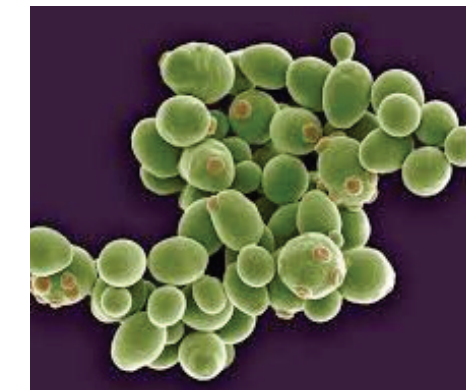
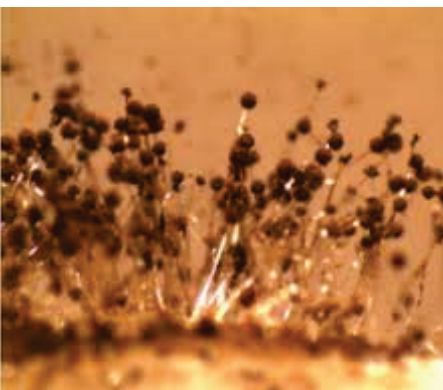
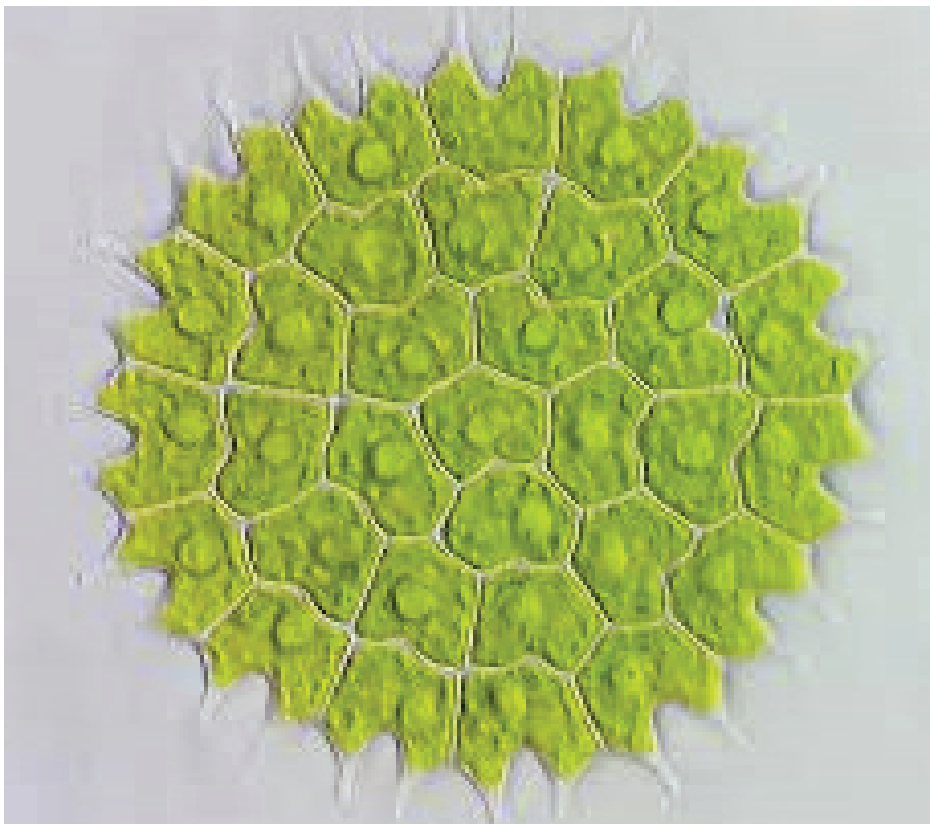
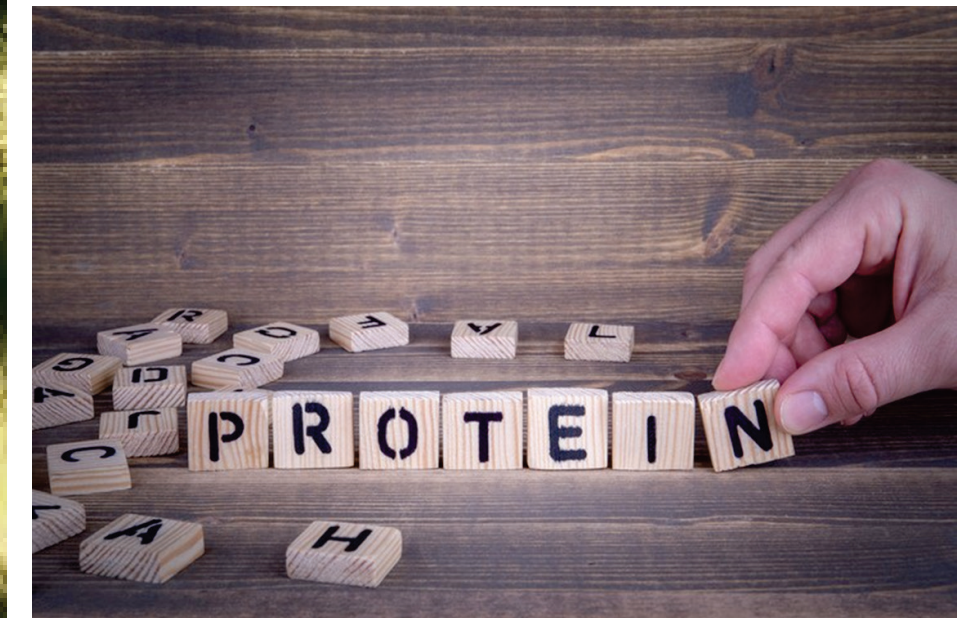


Figure 2: SIDESTREAM value chain approach



Encelleprotein (SCP - Single Cell Protein)



Encelleproteiner
kommer fra flere
ulike
mikroorganismer
med ulike
egenskaper:

Gjær/Mycoprotein

Muggsopper

Bakterier

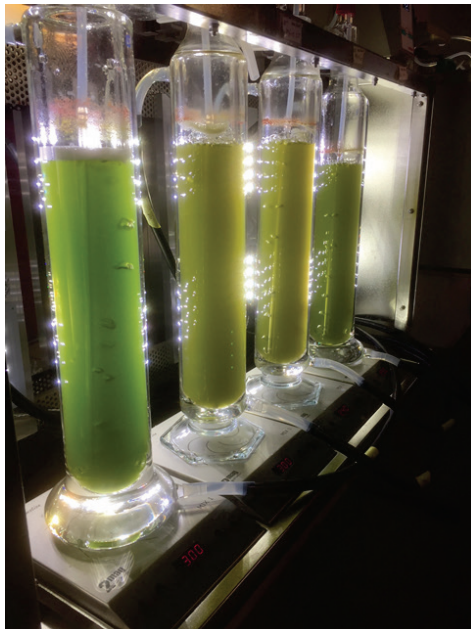
Mikroalger

Thraustochytrider

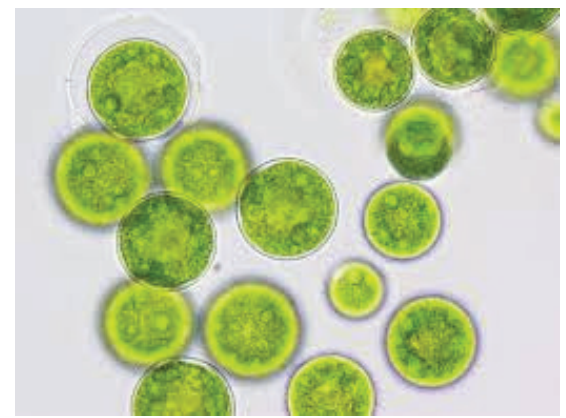
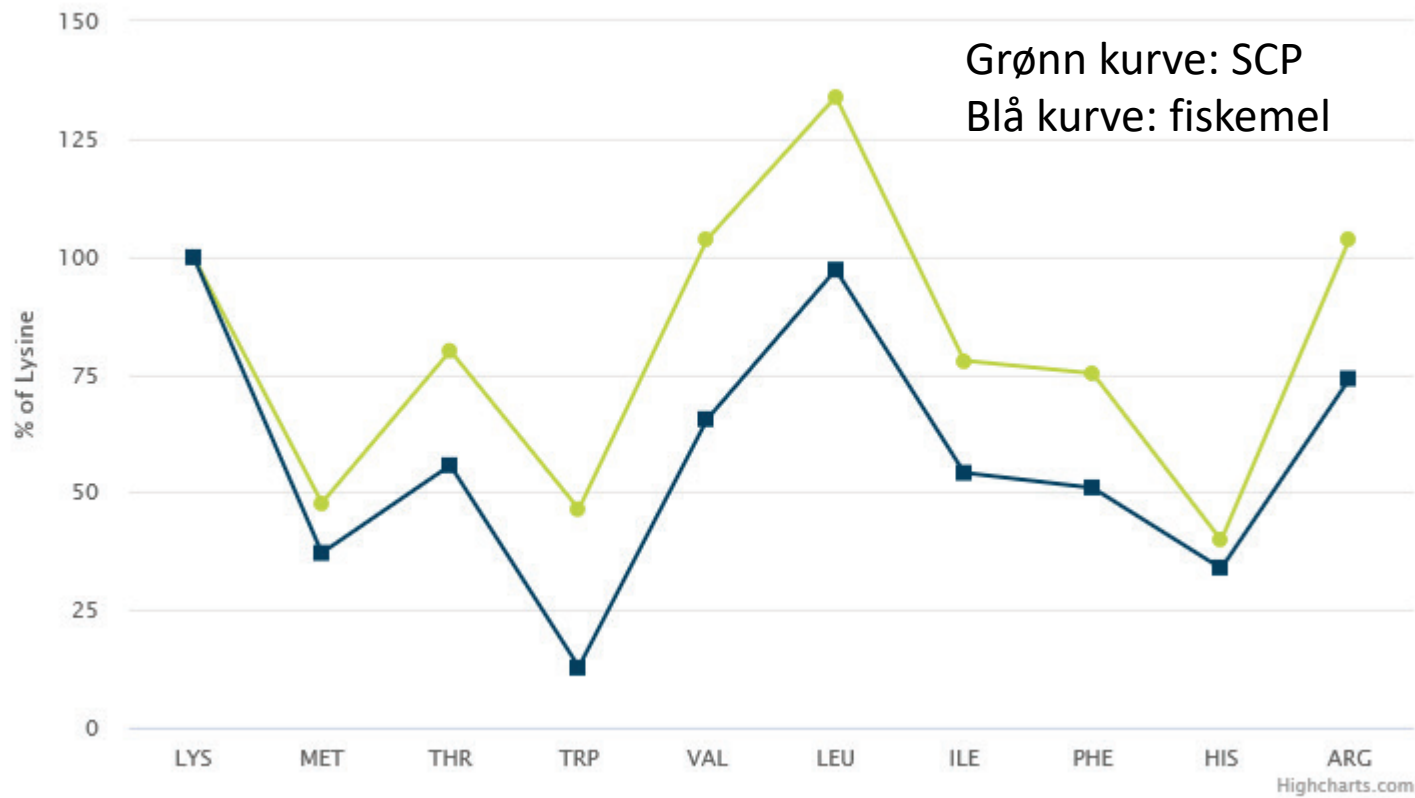
Cyanobakterier

Slam som råstoff i SCP-produksjon?

- God kilde til N, P, C:
 - Fast fraksjon rik på P
 - Løst fraksjon rik på N (både NH_4 og NO_3 er relevant)
- To ulike hovedprinsipp for produksjon:
 - Lysenergi og uorganisk karbon/ CO_2
 - Fermentering med organisk karbonkilde, uavhengig av lys



Gunstig aminosyreprofil:



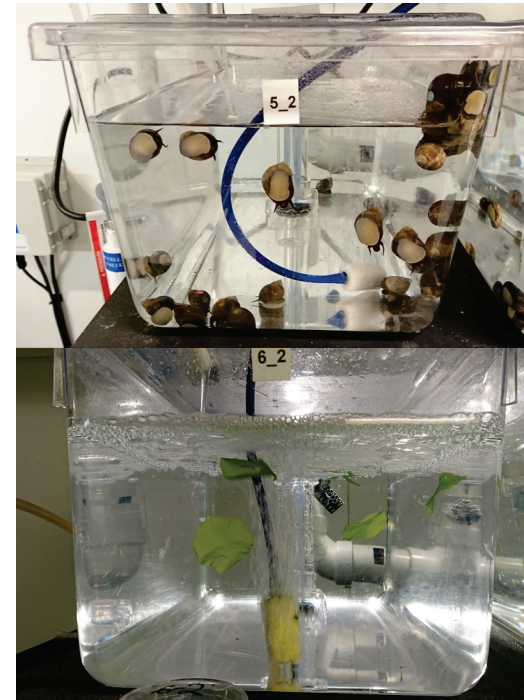
<https://www.unibio.dk/end-product/amino-acid-profile/>

Oppdrett av vanlig strandsnegl (RFF-Midt # 299075)

2019 - 2022

Undersøke muligheter for helårlig intensiv oppdrett av strandsnegl

- Statsnail AS selger >40 tonn strandsnegl år⁻¹
- Havsalat (*Ulva lactuca*) kan produseres på avløpsvann fra marin RAS og brukes som før til strandsnegl



SIRKULÆR BIOPRODUKSJON AV TROPISKE REKER PÅ SKOGN

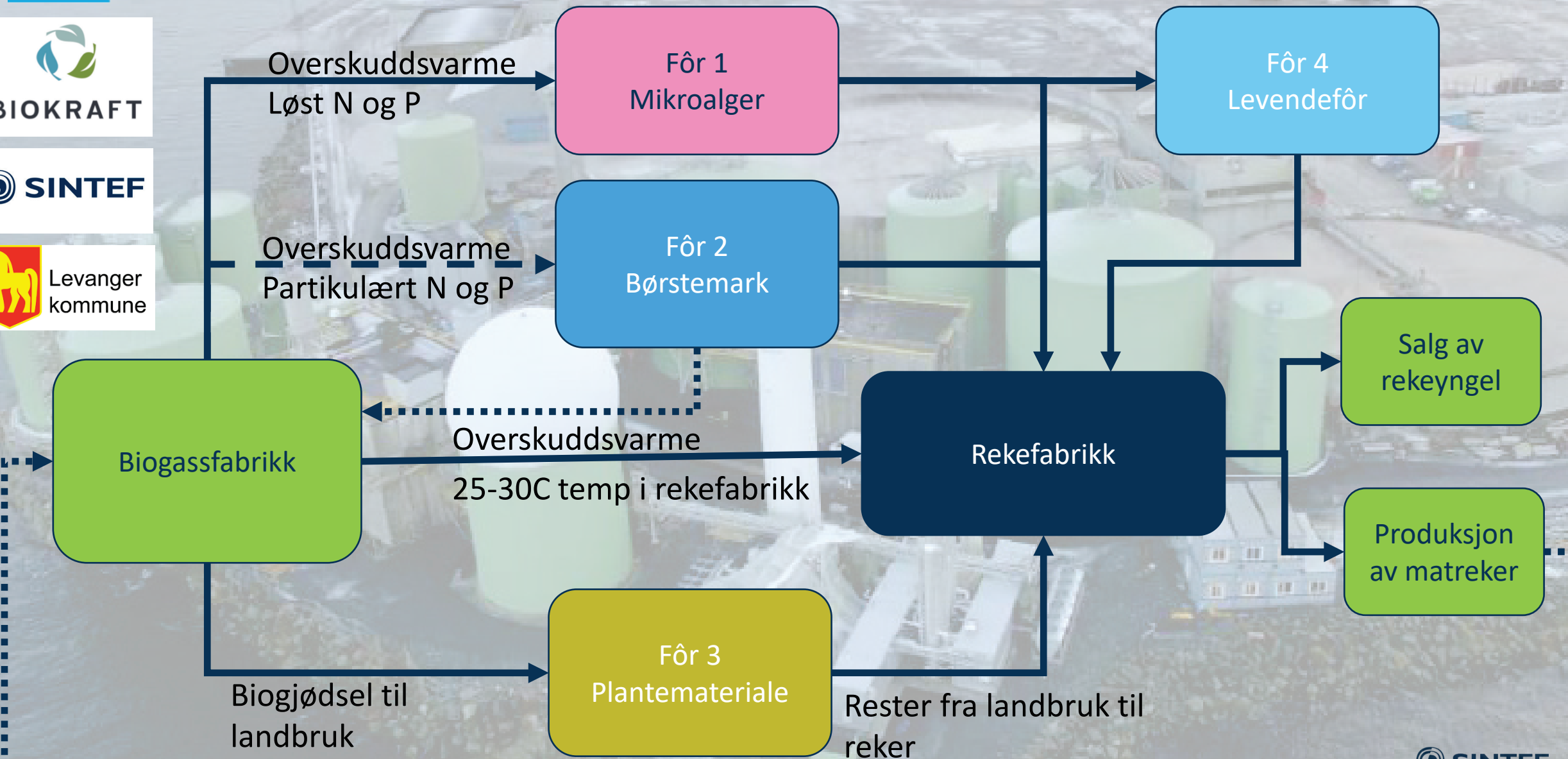


BIOKRAFT

SINTEF



Levanger
kommune



2016-2026
NCPT
20 MNOK



The Research Council
of Norway

Norwegian Center for Plankton Technology

